

## شبیه‌سازی مونت کارلو دستگاه IECF با استفاده از Geant4 به منظور استفاده در نوترون رادیوگرافی

سارا ونوقی<sup>۱</sup>، پیمان رفیعی‌پور<sup>۲</sup>، محسن محربی<sup>۱</sup>، مریم چapanvari<sup>\*۳</sup>، نفیسه سالک<sup>۴</sup>

۱. پژوهشکده کاربرد پرتوها، پژوهشگاه علوم و فنون هسته‌ای، سازمان انرژی اتمی ایران، صندوق پستی: ۱۱۳۶۵-۳۴۸۶، تهران - ایران

۲. گروه مهندسی هسته‌ای، دانشکده مهندسی مکانیک، دانشگاه شیراز، صندوق پستی: ۷۱۹۳۶۱۶۵۴۸، شیراز - ایران

۳. پژوهشکده پلاسمای گداخت هسته‌ای، پژوهشگاه علوم و فنون هسته‌ای، سازمان انرژی اتمی، صندوق پستی: ۱۴۳۹۹-۵۱۱۱۳، تهران - ایران

۴. پژوهشکده چرخه سوخت هسته‌ای، پژوهشگاه علوم و فنون هسته‌ای، سازمان انرژی اتمی ایران، صندوق پستی: ۱۱۳۶۵-۸۴۸۶، تهران - ایران

\*Email: m.ghapanvari@tabrizu.ac.ir

### مقاله‌ی پژوهشی

تاریخ دریافت مقاله: ۱۴۰۰/۸/۱۸ تاریخ پذیرش مقاله: ۱۴۰۰/۱۱/۳۰

### چکیده

نوترون رادیوگرافی (NRG) یک روش تصویربرداری غیرمخرب جهت ایجاد تصویر با استفاده از تابش نوترون می‌باشد. در این پژوهش، مطالعات امکان‌سنجی رادیوگرافی نوترون با استفاده از منبع نوترونی مبتنی بر محصورسازی الکترواستاتیکی-اینرسی (IECF) توسط شبیه‌سازی به وسیله ابزار شبیه‌سازی مونت کارلو Geant4 انجام گردید. به منظور درک بهتر کارایی دستگاه جهت نوترون رادیوگرافی، اثر ضخامت‌های مختلف سرب بر روی تصویر و امکان تشخیص حفره‌هایی با سایزهای مختلف درون یک قطعه ضخیم سرب، بررسی شده است. کیفیت تصاویر حاصل شده برای پارامترهای مختلف بر حسب کنترast بررسی شده است. نتایج شبیه‌سازی، کارآمدی و محدودیت‌های NRG را برای تصویربرداری با استفاده از این دستگاه و مناطق احتمالی (از نظر ضخامت سرب و سایز حفره‌ها) که NRG می‌تواند اجرا شود، نشان داده است.

**کلیدواژه‌ها:** رادیوگرافی نوترونی، شبیه‌سازی مونت کارلو، Geant4، IECF

## Monte Carlo simulation of IECF using Geant4 for neutron radiography

S. Vosoughi<sup>1</sup>, P. Rafiepour<sup>2</sup>, M. Mehrabi<sup>1</sup>, M. Ghapanvari<sup>\*3</sup>, N. Salek<sup>4</sup>

1. Radiation Application Research School, Nuclear Science and Technology Research Institute, AEOI, P.O.Box: 11365-3486, Tehran - Iran

2. Department of Nuclear Engineering, Faculty of Mechanical Engineering, Shiraz University, P.O. Box: 7193616548, Shiraz - Iran

3. Plasma and Nuclear Fusion Research School, Nuclear Science and Technology Research Institute, AEOI, P.O. Box: 14399-51113, Tehran - Iran

4. Nuclear Fuel Cycle Research School, Nuclear Science and Technology Research Institute, AEOI, P.O.Box: 11365-3486, Tehran - Iran

### Research Article

Received 9.11.2021, Accepted 19.2.2022

### Abstract

Neutron radiography (NRG) is a non-destructive imaging technique for image generation using neutron radiation. In this paper, feasibility studies of neutron radiography for IECF were performed by Geant4 Monte Carlo code. The effects of the different thicknesses of lead on the image and the detection possibility of cavities with different sizes inside a thick lead have been investigated to understand the performance of the device for neutron radiography purposes. The quality of the images was evaluated in terms of contrast. The simulation results showed the efficiency and limitations of NRG for IECF devices and the potential areas where NRG can be performed.

**Keywords:** Neutron radiography, Monte Carlo simulation, Geant4, IECF



## در صنعت دستگاههای تصویربرداری دیجیتال از قبیل دوربین

<sup>۳</sup> CCD بوده است [۵-۶].

به منظور انجام نوترون رادیوگرافی می‌توان از منابع نوترونی مناسب مانند راکتورهای تحقیقاتی شکافت، چشممه‌های رادیواکتیو مانند امرسیوم- بریلیوم و یا کالیفرنیوم- ۲۵۲، شتابدهنده‌ها و مولدهای نوترونی استفاده نمود [۷].

در مورد تصویربرداری با نوترون ترمال/اپیترمال، اجزای اصلی مانند منبع نوترونی، کولیماتور، سیستم پردازش تصویر و غیره به خوبی بهینه شده‌اند و طی سال‌ها در کاربردهای مختلف مورد استفاده قرار گرفته‌اند. با این حال، گزارش‌های بسیار کمی شتابدهنده‌ها و مولدهای نوترونی استفاده نمود [۸].

در مورد رادیوگرافی نوترونی سریع وجود دارد.

در سال ۱۹۹۷ رایموند<sup>۴</sup> و همکاران یک سیستم رادیوگرافی نوترون سریع را راهاندازی نمودند. با سیستم طراحی شده، از اجسامی به کوچکی یک سکه و به بزرگی یک ظرف ۱۹ لیتری رادیوگرافی گرفته شد. چشممه نوترون یک مولد نوترون MF Physics A-۷۱۱ بود که  $n/s \times 10^{13}$  با انرژی متوسط  $14.5\text{MeV}$  تولید می‌کرد. این گروه نشان دادند که رادیوگرافی نوترون سریع ابزار مفیدی برای تجزیه و تحلیل غیرمخرب بوده و هم‌چنین، از آنجایی که سطح مقطع با انرژی تغییر می‌کند، این روش می‌تواند به عنوان مکمل سایر اشکال رادیوگرافی که به صورت تجاری در دسترس هستند مورد استفاده قرار گیرد [۹]. توسعه یک سیستم رادیوگرافی نوترون سریع می‌تنی بر مولد نوترون پرتابل در سال ۲۰۱۶ توسط چایایی<sup>۵</sup> انجام شد. در مطالعه صورت گرفته تأثیر مخرب اشعه ایکس بر تصویر، به وسیله ترکیبی از یک ماده محافظ که بین دو صفحه تصویربرداری یکسان قرار گرفته است، کم شده و نتایج بهتری حاصل گردید [۱۰]. رادیوگرافی نوترون سریع با استفاده از چشممه نوترونی DT قابل حمل با بازده بالا، توسط دیوید<sup>۶</sup> و همکاران در سال ۲۰۲۰ انجام شد. در مطالعه مذکور، یک مولد نوترون قابل حمل با بازده  $n/s \times 10^9$  برای تابش جسم با نوترون استفاده شد و تصاویر با رزولوشن فضایی  $0.35\text{ mm}$  بر میلی‌متر حاصل گردید [۱۱].

دستگاه محصورسازی الکترواستاتیکی - اینرسی<sup>۷</sup> (IECF) به عنوان یک مولد نوترون، از محدود دستگاه‌های گداخت هسته‌ای است که کارکرد پیوسته داشته و می‌تواند منبع تولید انواع پرتوهای یون‌ساز باشد. در صورت تزریق گاز دوتربیوم،

## ۱. مقدمه

پرتونگاری نوترونی یا نوترون رادیوگرافی<sup>۸</sup> ایجاد تصویر از اشیاء به وسیله عبور تابش نوترون از آن می‌باشد. تصویر شکل گرفته بر اساس تضعیف باریکه نوترونی عبوری از شیء مورد نظر به دست می‌آید که این فرایند بسیار شبیه به تصویربرداری با اشعه ایکس می‌باشد. با توجه به متفاوت بودن نحوه تضعیف نوترون و اشعه ایکس در ماده، ایجاد تصویر توسط اشعه ایکس برای بعضی از مواد تقریباً غیرممکن بوده در حالی که تصویربرداری با استفاده از باریکه نوترونی به راحتی امکان‌پذیر است.

نوترون رادیوگرافی به عنوان یک روش غیرمخرب، جهت تصویربرداری از قطعات در حوزه‌های مختلف اعم از فضانوردی، انرژی و صنایع دفاعی کاربرد فراوانی دارد. علاوه بر این نوترون رادیوگرافی برای تصویربرداری از اشیاء پنهان شده، می‌تواند جهت کنترل عبور و مرور از مبادی و مکان‌های حساس به کار گرفته شود [۱]. در روش نوترون رادیوگرافی به منظور حصول تصویر با کیفیت بالا، باریکه موازی از نوترون‌ها با شار از مربه‌ی بیشتر از  $10^4 \text{n/s.cm}^2$  مورد نیاز می‌باشد. هرچه باریکه نوترونی شار بیشتر و واگرایی کمتری داشته باشد کیفیت تصاویر بالاتر خواهد بود [۲]. با وجود آن که در سال‌های اخیر مطالعات زیادی در این زمینه انجام شده است، نوترون رادیوگرافی هنوز به عنوان یک روش استاندارد و مرسوم مانند تصویربرداری با اشعه ایکس مورد استفاده قرار نگرفته است چراکه تصویربرداری با کیفیت عالی، نیازمند شار بالای نوترونی می‌باشد و ساخت چنین چشممه‌هایی بسیار پیچیده‌تر از مولدهای اشعه ایکس است [۱].

نوترون رادیوگرافی، کمی بعد از کشف نوترون در سال ۱۹۳۲ آغاز شد. آزمایش‌های اولیه در نوترون رادیوگرافی در آلمان در اوخر دهه‌ی ۱۹۴۰ توسط کالمان<sup>۹</sup> و کوهن<sup>۱۰</sup> انجام شد. در سال‌های ۱۹۳۵ تا ۱۹۳۸، به منظور بهبود روش‌های آشکارسازی فوتوفگرافیکی نوترون‌ها، چشممه‌های Ra-Be و یک مولد نوترونی کوچک در آزمایشگاه تحقیقاتی استفاده گردید. بعد از جنگ جهانی دوم، راکتورهای تحقیقاتی بسیاری ساخته شدند که همین امر باعث پیشرفت تحقیقات بر روی رادیوگرافی نوترونی گردید. دومین پیشرفت بزرگ در این مسیر، پیشرفت

4. Charge-Coupled Device

5. Raymond

6. Chia Jia Yi

7. David

8. Inertial Electrostatic Confinement Fusion  
Journal of Nuclear Science and Technology

Vol. 44 (3), Serial Number 104, 2023, P 22-29

1. Neutron Radiography

2. H. Kallmann

3. Khun



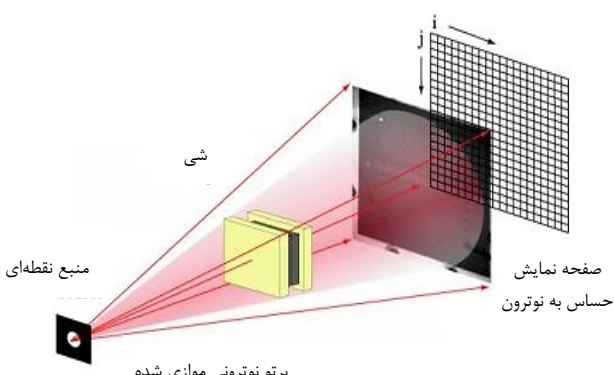
ساخت پایین به جهت سادگی نسبی ساختار، جابه‌جایی آسان، استحکام و امکان نصب در نزدیکی کاربرنهایی، این دستگاه به عنوان یکی از بهترین گزینه‌ها جهت تولید نوترون (در صورت استفاده از گازهای کاری دوتربیوم و تریتبیوم) شناخته شده است. در مطالعه حاضر به منظور بررسی کارایی دستگاه IECF موجود در سازمان انرژی اتمی ایران جهت نوترون رادیوگرافی، اثر ضخامت‌های مختلف سرب بر روی تصویر و بررسی حساسیت تشخیص حفره‌هایی با سایزهای مختلف درون یک قطعه سرب ضخیم، با استفاده از ابزار مونت‌کارلو Geant<sup>۴</sup>، برای نوترون‌هایی با انرژی ۱۴/۱ MeV و ۲/۴۵ MeV انجام گردید.

## ۲. روش کار

### ۱.۲ اصول نوترون رادیوگرافی

اصول پیکربندی یک سیستم تصویربرداری نوترونی در شکل ۱ به شکل ساده‌ای نشان داده شده است.

پروسه نوترون رادیوگرافی به طور کلی شامل مراحل زیر است: تولید نوترون توسط یک منبع نوترونی، همگرایی نوترون‌ها و ایجاد یک باریکه تقریباً تک جهت نوترونی، قرار دادن جسم در مسیر باریکه نوترون به منظور تصویربرداری از آن، و نهایتاً ایجاد تصویر از باریکه عبوری (باریکه فروودی تضعیف شده به خاطر اندرکنش‌های پراکندگی و جذب با هسته‌های اتمی موجود در عناصر نمونه). آشکارسازی که در پشت نمونه قرار دارد، یک تصویر دو بعدی از نمونه می‌دهد، لذا مطالعات در مورد مشخصات و ساختار داخلی نمونه بدون تخریب آن حاصل می‌گردد و عیوبهایی مثل خلا، ترک و تخلخل آشکار می‌شود [۱-۵].



شکل ۱. شماتیک سیستم تصویربرداری نوترونی.

نوترون‌های ناشی از واکنش گداخت D-D تولید می‌شوند که دارای انرژی ۲/۴۵ MeV هستند و در صورت تزریق مخلوط گازهای تریتبیوم و دوتربیوم، نوترون‌های حاصل از واکنش گداخت D-T، با انرژی ۱۴/۱ MeV تولید می‌شود. در این دستگاه حدود ۱۰<sup>۱۱</sup> و در شرایطی ۱۰<sup>۱۳</sup> نوترون می‌تواند گسیل شود [۱۶-۱۱].

استفاده از IECF به عنوان یک منبع نوترونی مفید برای نوترون رادیوگرافی، برای اولین بار در مرکز اتمی زاپن انجام شد. در پژوهش انجام شده، مطالعات امکان‌سنجی نوترون رادیوگرافی با استفاده از یک منبع نوترونی الکترواستاتیک انجام شده و تصاویر توسط صفحه تصویربرداری نوترون (NIP) ساخته شد. همچنین به منظور تحلیل و ارزیابی امکان آزمایش نوترون رادیوگرافی، از کد مونت‌کارلو PHITS<sup>۲</sup> استفاده شده است [۱۷].

در مطالعه‌ای دیگر، آزمایشات تصویربرداری با استفاده از یک منبع نوترونی IECF متوسط، به صورت غیرمستقیم با استفاده از یک فویل دیسپرسیوم (Dy) و یک صفحه تصویربرداری انجام شد. تصاویر نوترونی از اشیا متشکل از شش پایه Cd و آرایه‌ای از پودر B<sup>4</sup>C موجود در یک تیغه فولاد ضدزنگ به دست آمد. نتایج شبیه‌سازی و آزمایشات تجربی تأیید کرد که منبع نوترونی IECF، حتی در شار نوترون نسبتاً کم ۱۰<sup>۲</sup> n/cm<sup>2</sup> می‌تواند در رادیوگرافی نوترون به کار رود [۱۸]. طراحی یک سیستم FNR با استفاده از یک مولد نوترون D-T، توسط بیشونی<sup>۳</sup> و همکاران در سال ۲۰۱۶ انجام شده است. مطالعات شبیه‌سازی با استفاده از کد GEANT<sup>۴</sup> انجام شده است. نتایج نشان داد که سیستم رادیوگرافی نوترونی سریع دارای سیستم تصویربرداری مبتنی بر دوربین ICCD، می‌تواند جهت تصویربرداری نوترونی مورد استفاده قرار گیرد [۱۸]. در سال ۲۰۲۱، مطالعه دیگری مبنی بر امکان استفاده از سیستم IECF جهت رادیوگرافی نوترون، توسط محققان ژاپنی انجام گردید. تجزیه و تحلیل اولیه تصاویر حاصل نشان داد که کنتراست تصاویر منطقی بوده است. با این حال برای انجام رادیوگرافی نوترون با دقت بالاتر، بهینه‌سازی پارامترهای تجربی مورد نیاز است [۱۹].

با در نظر گرفتن مزایای منبع نوترونی IECF، همچون تولید نوترون در تمامی جهات (۴π)، منبع حجمی فشرده، هزینه

1. Neutron Imaging Plates
2. Particle and Heavy Ion Transport Code System
3. Bishoni



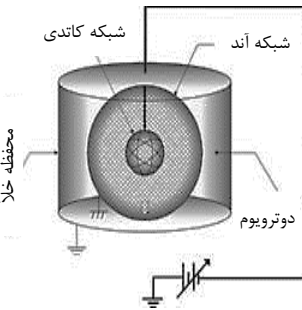
در SPNF-INST طراحی و ساخته شد. برای این دستگاه در ولتاژ ۱۴۱ kV و جریان ۰/۱ mA و استفاده از گاز کاری دوتربیوم، آهنگ تولید ۱۰<sup>۷</sup> نوترون ۰/۴۵ MeV در ثانیه گزارش شده است [۲۰]. در شکل ۲ (ب) نمایی از دستگاه IR-IECF نشان داده شده است. در حال حاضر به منظور بالا بردن نرخ واکنش همچو شیوه هسته ای و افزایش شار نوترون (n/s) ۱۰<sup>۱۰</sup> در این طراحی و ساخت یک نمونه ارتقاء یافته از دستگاه IECF در این مرکز در حال انجام است. پارامترهای طراحی و بهره برداری دستگاه IR-IECF در جدول ۱ آورده شده است.

### ۳.۲ مدل سازی NRG

دستگاه نوترون رادیوگرافی معمولی متشکل از یک منبع نوترون، یک کولیماتور برای شکل دادن نوترون ها به شکل یک بیم نسبتاً جهت دار با میزان پراکندگی حداقلی، جسم مورد بررسی و یک مجموعه آشکارساز حساس به نوترون برای ثبت تصویر است. پراکندگی پرتوها در جهت های گوناگون اثر نامطلوبی در کیفیت تصویر نهایی خواهد داشت لذا یکی از مهم ترین بخش های رادیوگرافی نوترون هنگامی که منبع پرتو نوترونی به صورت نقطه ای است، موازی سازی پرتو می باشد. موازی سازی به دو صورت استفاده از دیواره های موازی و واگرا انجام می شود که دیواره ها نقش اساسی در حذف پرتو های غیرموازی را دارند.



(ب)



(الف)

شکل ۲. (الف) پیکربندی کلی دستگاه IECF، (ب) محفظه اصلی و سیستم کنترل دستگاه IR-IECF

جدول ۱. پارامترهای طراحی و بهره برداری دستگاه IR-IECF

پارامتر	مقدار
قطر کاتد	۱۳/۵ سانتی متر
قطر آند	۴۱ سانتی متر
قطر محفظه خلا	۶۰ سانتی متر
ارتفاع محفظه خلا	۶۰ سانتی متر
ولتاژ کاتد	۰-۸۰ کیلوولت
فشار دوتربیوم	۱۰ <sup>-۳</sup> -۱۰ <sup>-۲</sup> میلی بار

همان گونه که گفته شد، رادیوگرافی نوترونی مبتنی بر تصویربرداری از جسم مورد بررسی پس از عبور نوترون از آن است. بسته به تضعیف نوترون ها در طول مسیر، تصویر سایه ای از جسم بر روی آشکارساز ثبت می گردد. این تصویر سایه ای دو بعدی از نمونه، اطلاعات اولیه در ارتباط با جزئیات داخلی جسم در مقیاس ماکروسکوپی ارایه می دهد. اگر نمونه ای را با ضریب میرایی خطی  $(\mu \text{ cm}^{-1})$  از نظر بگیریم شدت تابش عبوری  $I$ ، از یک نمونه را می توان با استفاده از رابطه ۱ به دست آورد.

$$I = I_0 \exp(-\mu y) \quad (1)$$

در این معادله  $I_0$  شدت اولیه ای است که توسط آشکارساز از پرتو نوترون در غیاب نمونه ثبت می گردد و  $y$  ضخامت نمونه است. به عنوان یک مورد ساده، اگر در این نمونه، یک ناهمگنی وجود داشته باشد و یا برخی از ساختارهای دارای ضخامت  $x$  با ضریب میرایی خطی  $\mu$  در نظر گرفته شود شدت عبوری  $I_x$  ثبت شده توسط آشکارساز از رابطه ۲ به دست می آید:

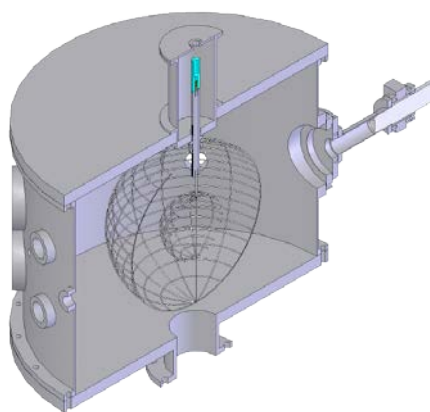
$$I_x = I_0 \exp(-(\mu(y - x) + \mu'x)) \quad (2)$$

الگوی شدت ثبت شده توسط آشکارساز در محل ناهمگنی ها (مثل ترک و تخلخل ...)، نسبت به الگوی ثبت شده بقیه تصویر، متفاوت است. شبیه سازی های انجام شده به منظور NGR، بر همین اصل استوار است.

### ۲.۰ مشخصات دستگاه IR-IECF

دستگاه IR-IECF شامل دو الکترود کروی مشبک هم مرکز بوده که الکترود مرکزی کاتد به ولتاژ بالای منفی و الکترود بیرونی آند به زمین متصل شده و دو الکترود در داخل یک محفظه خلا  $10^{-9}$  Torr قرار می گیرند. در این دستگاه پس از تزریق گاز کاری به داخل محفظه، بر اثر تخلیه الکتریکی در فشار پایین، یونیزاسیون رخ داده و بیون های تولید شده بین دو الکترود کروی مشبک شتاب داده می شوند. بیون ها به سمت مرکز الکترود کروی شتاب گرفته و در اثر برخوردهای بی دربی در مرکز کره، انجام واکنش همچو شیوه هسته ای را سبب می شوند. میدان الکتریکی کروی بین دو الکترود باعث شکل گیری پلاسمای نسبتاً چگال و داغ در مرکز الکترود مرکزی شده و حالت مناسبی برای واکنش های گداخت هسته ای پیوسته فراهم می شود. شکل ۲ (الف) پیکربندی کلی دستگاه IECF را نشان می دهد. اولین دستگاه ایرانی IR-IECF در سال ۲۰۱۱ می دهد.





شکل ۳. شماتیک هندسه شبیه‌سازی شده در Geant<sup>۴</sup>.

#### ۲۰.۳.۲ نمونه در نظر گرفته شده

در این مطالعه بهمنظور امکان‌سنجی نوترون رادیوگرافی با دستگاه IECF، دو نمونه با هندسه‌های متفاوت به صورت زیر در نظر گرفته شده است:

نمونه ۱: گوه سربی با ضخامت‌های مختلف.

نمونه ۲: یک قطعه سرب ضخیم حاوی حفره‌هایی با سایزهای مختلف درون آن به منظور بررسی حساسیت تشخیص. ترکیب عنصری مواد مختلف استفاده شده در شبیه‌سازی در جدول ۲ آورده شده است.

#### ۲۰.۳.۲ اثر ضخامت سرب روی تصویر

بهمنظور بررسی اثر ضخامت نمونه بر تصویر، یک گوه پلکانی از جنس سرب با عرض و ارتفاع ۱ cm و ضخامت متغیر از ۲ cm تا ۲۸ cm با گام‌های ۲ cm در نظر گرفته شد. آشکارساز یک استوانه با ضخامت ۲ cm و شعاع ۸ cm تعریف گردید. پیکربندی این نمونه در ابزار شبیه‌سازی Geant<sup>4</sup> در شکل ۴ نشان داده شده است.

#### ۲۰.۳.۲ بررسی حساسیت تشخیص حفره‌هایی با سایزهای مختلف

درون یک بلوک جامد مستطیل شکل از جنس سرب نمونه از یک بلوک جامد مستطیل شکل از جنس سرب (عرض = ۱ سانتی‌متر، ارتفاع = ۷ سانتی‌متر، ضخامت = ۱۰ سانتی‌متر) با تعدادی حفره هوا داخل آن تشکیل شده است. این حفره‌ها به طول ۱۰ سانتی‌متر و دارای قطرهای مختلف ۰/۵ میلی‌متر، ۱ میلی‌متر، ۲ میلی‌متر، ۳ میلی‌متر و ۴ میلی‌متر در نظر گرفته شدند. پیکربندی شی به عنوان فایل ورودی Geant<sup>4</sup> در شکل ۵ نشان داده شده است.

در این مطالعه، شبیه‌سازی با استفاده از ابزار شبیه‌سازی مونت کارلوی Geant<sup>4</sup> [۲۱] نسخه ۱۰/۷ انجام شده است. Geant<sup>4</sup> یک محیط مجازی کارآمدی برای مدل‌سازی برهم‌کنش ذرات با ماده در طیف وسیعی از انرژی فراهم می‌سازد. مؤلفه‌های اصلی این ابزار شبیه‌سازی که در این مطالعه مورد استفاده قرار گرفته‌اند عبارتند از: کلاس Primary-Generator (برای تولید نوترون)، کلاس Detector-Construction (جهت ساخت چیدمان نمونه سربی و آشکارساز)، کلاس Physics-List (برای تعریف فیزیک مناسب جهت شبیه‌سازی برهم‌کنش‌های نوترون سریع) و کلاس Stepping-Action (جهت ذخیره‌سازی اطلاعات تراپرد به صورت گام‌به‌گام). در این شبیه‌سازی، از کتابخانه فیزیکی QGSP-BIC-HP استفاده شده است. این بسته با دقت بالا از داده‌های کتابخانه ENDF/B-VII برای انرژی‌های کمتر از ۲۰ MeV به خوبی توصیف می‌کند [۲۲]. موقعیت مکانی هر رده نوترون به صورت هیستوگرام دو بعدی با استفاده از ابزار آماری ROOT [۲۳] ثبت گردید. هم‌چنین توزیع شار نوترون در آشکارساز، با استفاده از روش مشبندی به دست آمد.

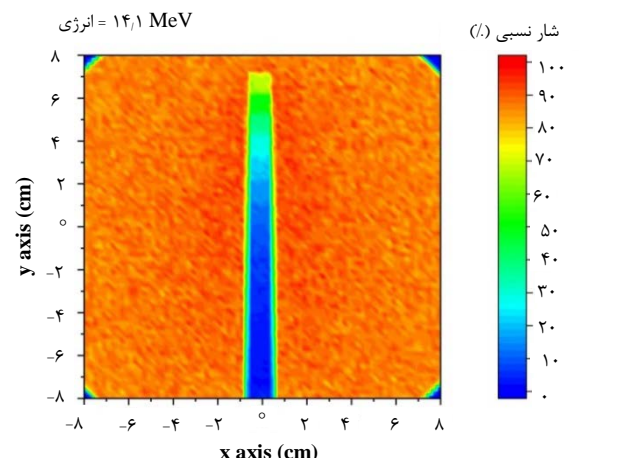
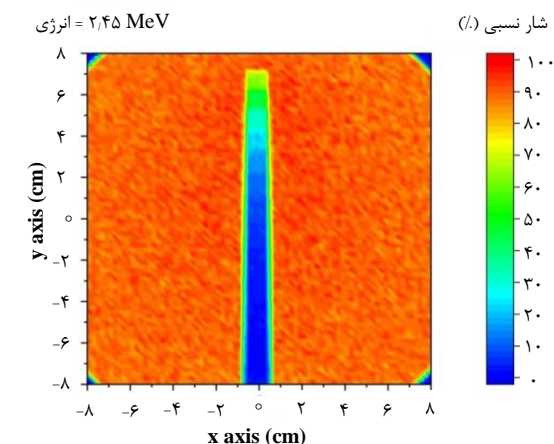
#### ۲۰.۳.۲ چشمه نوترونی

در این شبیه‌سازی، با توجه به تشکیل پلاسمای داغ و چگال در مرکز کاتد و تقارن سیستم محفظه دستگاه، ناحیه تابش نوترون به صورت یک چشمه نوترونی همسانگرد در مرکز کاتد در نظر گرفته شد. محفظه خلاً به صورت استوانه‌ای با قطر و ارتفاع ۶۰ cm و ضخامت ۱ cm از جنس استیل ضدزنگ در نظر گرفته شده است. به دلیل وجود موازی‌ساز در دهانه خروجی دستگاه، نوترون‌ها در یک مخروط فضایی با زاویه رأس ۱۳ درجه به سمت نمونه سربی گسیل می‌شوند. توزیع انرژی نوترون‌ها، به صورت تک انرژی با انرژی‌های ۲/۴۵ MeV (گاز کاری دوتربیوم) و ۱۴/۱ MeV (گاز کاری دوتربیوم-تریتیوم) در نظر گرفته شد. فاصله چشمه نقطه‌ای نوترون تا سطح انتهایی نمونه مورد مطالعه برابر با ۶۵ cm، بهره نوترونی دستگاه  $n/s = 10^{10}$  و جنس آشکارساز ZnS(Ag) در نظر گرفته شده است. شبیه‌سازی هندسه شبیه‌سازی شده در شکل ۳ نشان داده شده است.

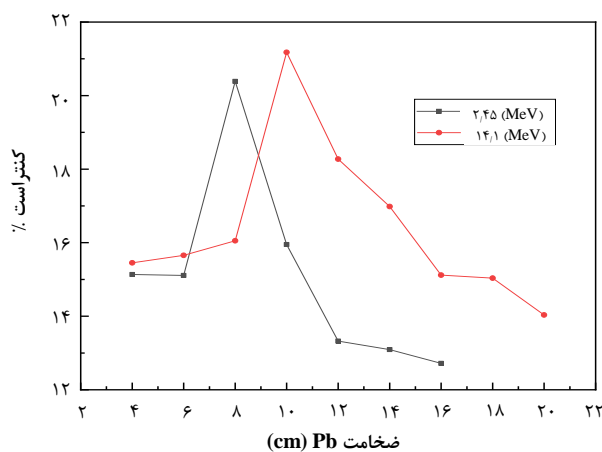


$$C = \frac{I - I_b}{I_b} \quad (3)$$

در اين رابطه  $I$  و  $I_b$  به ترتيب شدت پرتوهاي عبوری و پرتوهاي زمينه می باشند.

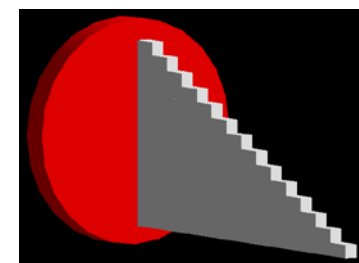


شکل ۶. شار نسبی نوترون های عبوری از گوه سربی و فروودی بر آشکارساز حاصل از Geant<sup>4</sup> برای نوترون هایی با انرژی ۲.۴۵ MeV و ۱۴.۱ MeV.

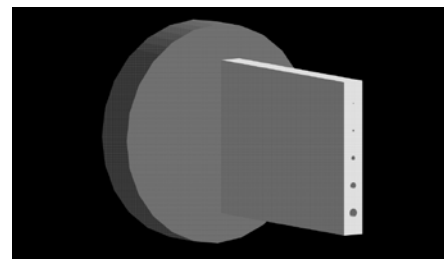


شکل ۷. نمودار کنترast نسبی در مرزها برای گوه پلکانی با ضخامت ۲ تا ۲۸ سانتی متر برای نوترون هایی با انرژی ۲.۴۵ MeV و ۱۴.۱ MeV.

ماده	ترکیب	کسر تشکیل دهنده	چگالی (g/cm <sup>3</sup> )	Geant <sup>4</sup>
	C		۰.۱۵	
	Si		۰.۵	
	P		۰.۰۲۳	
	S		۰.۰۱۵	
	Cr		۱۹	استیل ضد زنگ
	Mn		۱	
	Fe		۶۹.۴۴۸	
	Ni		۱۰	
	سرب		۱۱.۳۵	سرب
	نيتروژن		۷۰	
	هواء		۰.۰۰۱۲۹	هواء
	اکسیژن		۳۰	



شکل ۴. شماتیک هندسه شبیه سازی شده در Geant<sup>4</sup> برای ضخامت های مختلف سرب.



شکل ۵. شماتیک پیکربندی نمونه ۲ در نظر گرفته شده (بلوک سربی حاوی حفره هایی با قطر متفاوت).

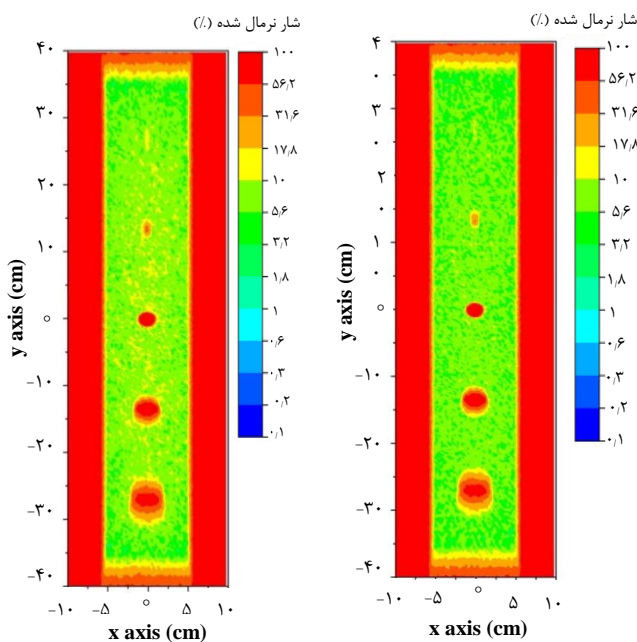
### ۳. نتایج و بحث

#### ۱۰. اثر ضخامت سرب روی تصویر

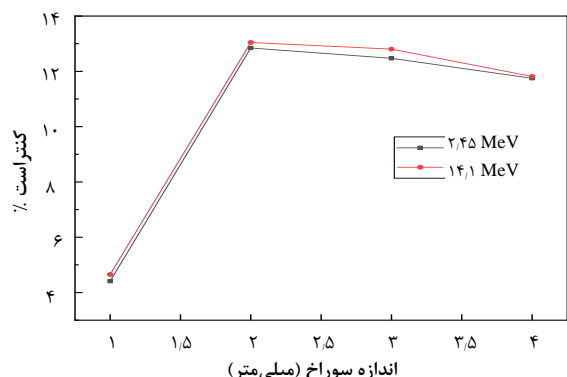
در این شبیه سازی، توزیع دو بعدی نوترون انتقال یافته از نمونه های سربی با ضخامت های مختلف، با استفاده از ابزار مونت کارلوی Geant<sup>4</sup> برای انرژی های نوترونی ۲.۴۵ MeV و ۱۴.۱ MeV جمع آوری و تصویر ساخته شده است. توزیع های به دست آمده برای انرژی های مختلف نوترون، در شکل ۶ و کنترast نسبی در مرزها برای گوه پلکانی در شکل ۷ نشان داده شده است. برای محاسبه کنترast از رابطه وبر<sup>۱</sup> به شرح ذیل استفاده شده است:

شکل ۷. نمودار کنترast نسبی در مرزها برای گوه پلکانی با ضخامت ۲ تا ۲۸ سانتی متر برای نوترون هایی با انرژی ۲.۴۵ MeV و ۱۴.۱ MeV.





شکل ۸. تصاویر به دست آمده از بلوک سربی حاوی حفره‌های هوا با ابعاد متغیر برای نوترون‌هایی با انرژی ۲/۴۵ MeV (الف) و ۱۴/۱ MeV (ب) با استفاده از Geant4.



شکل ۹. کنترast حفره‌های در نظر گرفته شده برای نوترون‌هایی با انرژی ۱۴/۱ MeV و ۲/۴۵ MeV.

#### ۴. نتیجه‌گیری

در این تحقیق، با استفاده از ابزار شبیه‌سازی مونت کارلوی Geant4، کارآمدی روش نوترون رادیوگرافی جهت تصویربرداری مورد مطالعه قرار گرفت. نتایج حاکی از آن است که در صورت استفاده از نوترون با انرژی‌های بالاتر (۱۴/۱ MeV)، محدوده ضخامت قابل تشخیص با کنترast نسبتاً خوب، به حدود ۲۰ سانتی‌متر افزایش می‌یابد در صورتی که برای انرژی ۲/۴۵ MeV برای ضخامت‌های بالاتر از ۱۶ سانتی‌متر، مطلوب نیست. این مطالعه اهمیت استفاده از نوترون رادیوگرافی را بیان می‌کند. لذا امید است نتایج این مطالعه در آزمایشات اولیه برای پروژه نوترون رادیوگرافی با استفاده از دستگاه IECF موجود در سازمان انرژی اتمی، به کار گرفته شود.

همان‌گونه که در شکل‌های ۶ و ۷ مشاهده می‌شود، گوه پله‌ای توانایی انتقال بالای نوترون‌ها برای سرب را دارد. نوترون‌های با انرژی ۲/۴۵ MeV قادر به نفوذ و تشخیص ضخامت‌های متغیر از ۱۶ cm تا ۲ cm بوده و می‌توان گفت که توانایی تشخیص ضخامت‌های بالاتر از ۱۶ cm را ندارند، زیرا میزان شار عبوری از نمونه سربی با این ضخامت و بیشتر، به کمتر از ۱۰٪ می‌رسد. در مورد نوترون‌های با انرژی ۱۴/۱ MeV تشخیص ضخامت تا ۲۰ cm امکان‌پذیر بوده، اما امکان تشخیص برای ضخامت‌های بالاتر وجود ندارد. مقدار کمی کنتراست ارزیابی شده از میان لبه‌ها در شکل ۷ نشان داده است. همان‌طور که از شکل مشاهده می‌شود، حداکثر کنتراست برای انرژی نوترون ۲/۴۵ MeV و ۱۴/۱ MeV به ترتیب ۲۰٪ و ۲۱٪ می‌باشد. این مقدار برای انرژی نوترون ۱۴/۱ MeV بین ۲/۴۵ MeV و ۱۰ cm ۸ cm سرب، و برای انرژی نوترون ۱۴/۱ MeV بین ۶ cm و ۸ cm سرب وجود دارد و در ضخامت بیشتر یا کمتر به ترتیب به دلیل افزایش تضعیف یا کاهش تضعیف و پراکندگی کاهش می‌یابد.

۲۰۳ بررسی حساسیت تشخیص حفره‌هایی با سایزهای مختلف درون یک قطعه سرب ضخیم

تصاویر به دست آمده از بلوک سربی حاوی حفره‌های هوا با اندازه‌های مختلف، برای دو انرژی نوترون ۲/۴۵ MeV و ۱۴/۱ MeV در شکل ۸ نشان داده است. علاوه بر این کنتراست محاسبه گردیده و در شکل ۹ نشان داده شده است. همان‌طور که از شکل ۸ مشاهده می‌شود، تمامی حفره‌ها به جز حفره با قطر ۰.۵ میلی‌متر به وضوح در تصویر ساخته شده متمایز هستند. از شکل ۹ دیده می‌شود که کنتراست برای انرژی ۱۴/۱ MeV بالاتر بوده و در هر دو انرژی نوترون، حفره با سایز ۲ mm بالاترین کنتراست را دارد. برای حفره‌هایی با سایز کوچک‌تر از ۲ mm، کنتراست بسیار پایین بوده و برای حفره‌هایی با سایز بزرگ‌تر، این مقدار کاهش یافته اما همچنان قابل قیاس با ماکزیمم کنتراست می‌باشد.

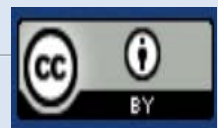


## مراجع

1. P. Von der Hardt, H. Röttger, *Neutron radiography handbook: nuclear science and technology*, Springer Science & Business Media, (2012).
2. H. Berger, *Practical applications of neutron radiography and gaging*, ASTM International, (1976).
3. A. Shaikh, *Neutron Radiography Facility at CIRUS Reactor for NDE Applications*, in *Proceedings of the national Seminar & Exhibition on Nondestructive Evaluation*, ISNT-NDE, 148-151, (2009).
4. A. Heller, J. Brenizer, *Neutron radiography*, in *Neutron imaging and applications*: Springer, 67-80 (2009).
5. J. Barton, *Neutron radiography—an overview*, *Practical Applications of Neutron Radiography and Gaging*, (1976).
6. F. Abbasi Davani, et al, *Neutron spectrum measurement in D+Be reaction*, *Iranian Journal of Physics Research*, **3** (2), 101-7 (2019).
7. N. Tsoulfanidis, S. Landsberger, *Measurement & detection of radiation*, CRC Press, (2021).
8. R.T. Klann, *A system for fast neutron radiography*, in *AIP Conference Proceedings*, American Institute of Physics, **392**(1), 883-886 (1997).
9. C.J. Yi, S. Nilsuwankosit, *Development of fast neutron radiography system based on portable neutron generator*, in *AIP Conference Proceedings*, AIP Publishing LLC, **1704**(1), 030007 (2016).
10. D.L. Williams, et al, *A Fast Neutron Radiography System Using a High Yield Portable DT Neutron Source*, *Journal of Imaging*, **6**(12), 128, (2020).
11. G.H. Miley, *A portable neutron/tunable X-ray source based on inertial electrostatic confinement*, *Nuclear Instruments and Methods in Physics Research Section A: Accelerators, Spectrometers, Detectors and Associated Equipment*, **422**(1-3), 16-20, (1999).
12. G.H. Miley, S.K. Murali, *Inertial electrostatic confinement (IEC) fusion, Fundamentals and Applications*, (2014).
13. R. Ashley, et al, *Steady-state D<sub>3</sub>He proton production in an IEC fusion device*, *Fusion Technology*, **39**(2P2), 546-551 (2001).
14. G.L. Kulcinski, J.F. Santarius, *New opportunities for fusion in the 21st century-advanced fuels*, *Fusion Technology*, **39**(2P2), 480-485 (2001).
15. K. Yoshikawa, et al., *Research and development of a compact discharge-driven D-D fusion neutron source for explosive detection*, *Nuclear Instruments and Methods in Physics Research Section B: Beam Interactions with Materials and Atoms*, **261**(1-2), 299-302 (2007).
16. R.W. Bussard, *Waste Transmutation by High Flux DT Fusion Neutrons from Inertial Electrostatic Fusion (IEF) Systems*, Global 1993 International Conference and Technology Exhibition on Future Nuclear Systems, Sep. 12-17, (1993).
17. K. Takakura, et al., *Neutron Radiography Using Inertial Electrostatic Confinement (IEC) Fusion, Plasma and Fusion Research*, **13**, 2406075-2406075 (2018).
18. S. Bishnoi, et al, *Fast Neutron Radiography With DT Neutron Generator*, in *Indian National Seminar and Exhibition on Non-Destructive Evaluation NDE, Dec*, 68-73 (2016).
19. M. Bakr, et al, *Characterization of an ultra-compact neutron source based on an IEC fusion device and its prospective applications in radiography*, *Fusion Engineering and Design*, **167**, 112346 (2021).
20. V. Damideh, et al., *Experimental study of the Iranian inertial electrostatic confinement fusion device as a continuous neutron generator*, *Journal of Fusion Energy*, **31**(2), 109-111 (2012).
21. S. Agostinelli, et al, *GEANT4-a simulation toolkit” NIM A506 250–303*, ed, (2003).
22. A. Bungau, et al., *Proposal for an electron antineutrino disappearance search using high-rate li 8 production and decay*, *Physical Review Letters*, **109**(14), 141802 (2012).
23. I. Antcheva, et al., *ROOT—A C++ framework for petabyte data storage, statistical analysis and visualization*, *Computer Physics Communications*, **182**(6), 1384-1385 (2011).

## COPYRIGHTS

©2021 The author(s). This is an open access article distributed under the terms of the Creative Commons Attribution (CC BY 4.0), which permits unrestricted use, distribution, and reproduction in any medium, as long as the original authors and source are cited. No permission is required from the authors or the publishers.



استناد به این مقاله

سara وثوقی، پیمان رفیعی‌پور، محسن محربی، مریم قبانوری، نفیسه سالک (۱۴۰۲)، شبیه‌سازی مونت کارلو دستگاه IECF با استفاده از Geant4 به منظور استفاده در نوترون رادیوگرافی، ۲۹-۲۲، ۱۰۴، شماره ۲، جلد ۱۰۴، تابستان ۱۴۰۲، ص ۲۲-۲۹

DOI: [10.24200/nst.2023.1368](https://jonsat.nstri.ir/article_1368.html)Url: [https://jonsat.nstri.ir/article\\_1368.html](https://jonsat.nstri.ir/article_1368.html)